



วิศวกรรม สายอากาศ

ANTENNA ENGINEERING

รศ.ดร. วิทวัส สิริฐกุล
ผศ.ดร. ปาลีรัตน์ วงจำปา

วิศวกรรมสายอากาศ (Antenna Engineering)

โดย รศ.ดร. วิทวัส สิริภูงกุล และ ผศ.ดร. ปาลีรัตน์ วงจำปา

สงวนลิขสิทธิ์ตามกฎหมาย โดย รศ.ดร. วิทวัส สิริภูงกุล © พ.ศ. 2563

ห้ามคัดลอก ลอกเลียน ดัดแปลง ทำซ้ำ จัดพิมพ์ หรือกระทำการอื่นใด โดยวิธีการใดๆ ในรูปแบบใดๆ
ไม่ว่าส่วนหนึ่งส่วนใดของหนังสือเล่มนี้ เพื่อเผยแพร่ในสื่อทุกประเภท หรือเพื่อวัตถุประสงค์ใดๆ
นอกจากจะได้รับอนุญาต

ข้อมูลทางบรรณานุกรมของสำนักหอสมุดแห่งชาติ

วิทวัส สิริภูงกุล.

วิศวกรรมสายอากาศ = Antenna Engineering. - - กรุงเทพฯ : ซีเอ็ดยูเคชั่น, 2563.

244 หน้า.

1. สายอากาศ.

I. ชื่อเรื่อง.

621.3824

Barcode (e-book) 9786160839476

ผลิตและจัดจำหน่ายโดย



บริษัท ซีเอ็ดยูเคชั่น จำกัด (มหาชน)
SE-EDUCATION PUBLIC COMPANY LIMITED

เลขที่ 1858/87-90 ถนนเพชรรัตน แขวงบางนาใต้ เขตบางนา กรุงเทพฯ 10260
โทรศัพท์ 0-2826-8000

หากมีคำแนะนำหรือติชม สามารถติดต่อได้ที่ comment@se-ed.com

คำนำ



สายอากาศเป็นอุปกรณ์ไฟฟ้าชนิดหนึ่ง มีหน้าที่เปลี่ยนปริมาณทางไฟฟ้าในรูปของกระแสไฟฟ้าหรือแรงดันไฟฟ้ากระแสสลับให้อยู่ในรูปของคลื่นแม่เหล็กไฟฟ้า หรือในทางกลับกัน มันสามารถรับคลื่นแม่เหล็กไฟฟ้าและสามารถเปลี่ยนไปในรูปแบบของกระแสไฟฟ้าหรือแรงดันไฟฟ้ากระแสสลับ กระแสไฟฟ้าหรือแรงดันไฟฟ้ากระแสสลับดังกล่าวสามารถถูกใช้เป็นตัวนำพา นำพาสัญญาณข้อมูลออกไปสู่อากาศ ทั้งนี้ย่านความถี่ของคลื่นพาห้จะแปรผันตามลักษณะการประยุกต์ใช้งานเป็นหลัก ยกตัวอย่างเช่น การสื่อสารทางวิทยุ โทรทัศน์ เรดาร์ หรือโทรศัพท์เคลื่อนที่ เป็นต้น ทำให้ระบบการสื่อสารไร้สายใดๆ ต้องมีสายอากาศเป็นส่วนประกอบด้วยเสมอ

อย่างไรก็ตาม ถึงแม้ปัจจุบันสายอากาศจำนวนมากถูกออกแบบและศึกษา แต่ก็ยังไม่สามารถตอบโจทย์การใช้งานทางด้านวิศวกรรมสายอากาศได้อย่างสมบูรณ์ เนื่องจากการสื่อสารในปัจจุบันถูกพัฒนาไปอย่างก้าวกระโดด ทำให้สายอากาศรูปแบบใหม่ๆ ต้องถูกออกแบบและนำไปใช้โดยใช้ความรู้ทางด้านวิศวกรรมสายอากาศ เช่น ปัจจุบันเทคโนโลยี 5G ได้รับความนิยมสูงมากทั่วโลก ทำให้สายอากาศในย่านความถี่ 3.5 กิกะเฮิรตซ์ หรือย่าน 28 กิกะเฮิรตซ์ ถูกนำมาใช้อย่างแพร่หลาย ด้วยเหตุผลความจำเป็นดังกล่าวทำให้วิชา “วิศวกรรมสายอากาศ” ถูกรวมเป็นหนึ่งในวิชาเฉพาะทางวิศวกรรมตามระเบียบคณะกรรมการสภาวิศวกร

เนื่องด้วยหนังสือวิชา “วิศวกรรมสายอากาศ” ที่ถูกตีพิมพ์ส่วนใหญ่เป็นภาษาต่างประเทศมีราคาแพง และหนังสือภาษาไทยมีน้อยและล้าสมัย หนังสือเล่มนี้จึงถูกออกแบบให้มีเนื้อหาตรงตามระเบียบคณะกรรมการสภาวิศวกร เหมาะสำหรับ นิสิต นักศึกษา วิศวกร และผู้สนใจ อีกทั้งยังเพิ่มเติมเนื้อหาทางด้านหลักการทดสอบสายอากาศและการประยุกต์ใช้สายอากาศในระบบ 5G เพื่อให้สามารถเข้าใจถึงเนื้อหาดังกล่าวได้อย่างครอบคลุมตั้งแต่ต้นน้ำถึงปลายน้ำคือ การออกแบบ การวิเคราะห์ การทดสอบและการนำไปประยุกต์ใช้งาน ผ่านประสบการณ์ของผู้เขียนเอง และการรวบรวมเนื้อหาต่างๆ จากหนังสือตำราทั้งในประเทศและต่างประเทศ เอกสาร และมาตรฐานการวัดสายอากาศต่างๆ เป็นจำนวนมาก ทำให้ผู้สนใจศึกษาวิชานี้สามารถใช้หนังสือเล่มนี้เพียงเล่มเดียวในการศึกษาและออกแบบสายอากาศได้ด้วยตนเอง

รศ. ดร. วิทวัส สິฏฐกุล

สารบัญ



	หน้า
บทที่ 1 บทนำและความสำคัญของสายอากาศ	21
วัตถุประสงค์	21
บทนำ	22
1.1 ประวัติศาสตร์ของสายอากาศ	22
1.2 คำจำกัดความของสายอากาศ (Definitions of Antenna)	23
1.3 กลไกการทำงานของสายอากาศ	24
1.3.1 การแพร่กระจายของคลื่นแม่เหล็กไฟฟ้าออกจากสายส่ง	24
1.3.2 การกระจายของกระแสและแรงดันในสายอากาศ	25
1.3.3 สายอากาศแบบเรโซแนนซ์	26
1.3.4 สายอากาศแบบไม่เรโซแนนซ์	27
1.3.5 การเหนี่ยวนำระหว่างสายอากาศทั้งสอง	27
1.4 คลื่นแม่เหล็กไฟฟ้า	28
1.5 สภาวะการเกิดโพลาไรเซชัน (Polarization)	30
1.5.1 สภาวะการเกิดโพลาไรเซชันเชิงเส้นตรง	31
1.5.2 สภาวะการเกิดโพลาไรเซชันเชิงเส้นตรงรูปวงรีและวงกลม	34
1.6 ผลกระทบของพื้นดินต่อสายอากาศ	37
1.7 สายอากาศแบบต่อกับพื้นดิน	38
1.8 สายอากาศแบบไม่ได้ต่อกับพื้นดิน	39
1.9 การสื่อสารไร้สายโดยใช้สายอากาศ	39
1.10 การขั้วสายอากาศโดยใช้สายส่ง	40
1.11 โหมดการแพร่กระจายคลื่นแม่เหล็กไฟฟ้า	41
1.11.1 การแพร่กระจายคลื่นดิน	41
1.11.2 การแพร่กระจายคลื่นฟ้า	41
1.11.3 การแพร่กระจายคลื่นในแนวเส้นตรง (Line-of-sight)	41

1.12 ระบบพิกัด (Coordinate System)	42
1.12.1 ระบบพิกัดทรงเหลี่ยมหรือระบบพิกัดฉาก (Cartesian Coordinate)	43
1.12.2 ระบบพิกัดทรงกระบอก (Cylindrical Coordinate)	43
1.12.3 ระบบพิกัดทรงกลม (Spherical Coordinate)	43
1.13 ตัวดำเนินการทางเวกเตอร์	44
1.13.1 ตัวดำเนินการเดล (∇)	44
1.13.2 ตัวดำเนินการเกรเดียนต์ (∇f)	45
1.13.3 ตัวดำเนินการไดเวอร์เจนต์ ($\nabla \cdot A$)	45
1.13.4 ตัวดำเนินการเคิร์ล ($\nabla \times A$)	46
สรุป	47
โจทย์ปัญหาบทที่ 1	48
บทที่ 2 พารามิเตอร์พื้นฐานของสายอากาศ	49
วัตถุประสงค์	49
บทนำ	50
2.1 แบบรูปการแผ่พลังงาน (Radiation Pattern)	50
2.1.1 แบบรูปการแผ่พลังงานแบบไอโซทรอปิก (Isotropic Pattern)	52
2.2.2 แบบรูปการแผ่พลังงานแบบรอบตัวในระนาบเดียว (Omnidirectional Pattern)	52
2.2.3 แบบรูปการแผ่พลังงานแบบมีทิศทาง (Directional Pattern)	52
2.2 ความกว้างลำคลื่น (Beamwidth)	55
2.2.1 ความกว้างลำคลื่นครึ่งกำลัง (Half-power Beamwidth: HPBW)	55
2.2.2 ความกว้างลำคลื่นที่สัญญาณเป็นศูนย์คู่แรก (First-null Beamwidth: FNBW)	56
2.3 ค่าสภาพเจาะจงทิศทาง (Directivity)	56
2.3.1 ค่าสภาพเจาะจงทิศทาง (Directivity) ของแบบรูปการแผ่กระจายกำลังงานแบบรอบตัวในระนาบเดียว (Omnidirectional Patterns)	59
2.4 ประสิทธิภาพของสายอากาศ (Antenna Efficiency)	60
2.5 อัตราขยายของสายอากาศ (Antenna Gain)	62
2.6 ประสิทธิภาพลำคลื่นของสายอากาศ (Beam Efficiency)	63
2.7 แบนด์วิดท์ (Bandwidth)	64
2.8 ค่าอิมพีแดนซ์ขาเข้า (Input Impedance)	65
2.9 ค่าสัมประสิทธิ์การสะท้อน (S_{11}) ของสายอากาศ	65
2.10 ค่าอิมพีแดนซ์ของสายอากาศ	65
2.10.1 ค่าความต้านทานการแผ่กระจายกำลังงาน	66
2.10.2 วงจรสมมูลของสายอากาศในขณะที่ทำหน้าที่เป็นภาคส่ง	66

2.10.3	วงจรมุมของสายอากาศในขณะที่ทำหน้าที่เป็นภาครับ	68
2.11	ประสิทธิภาพการแผ่กระจายกำลังงานและการสูญเสียของสายอากาศ	70
2.12	พื้นที่ประสิทธิผลของสายอากาศ (Effective Antenna Aperture: A_e)	71
2.13	ปัจจัยการสูญเสียจากการโพลาไรซ์ (Polarization Loss Factor: PLF)	72
2.14	สมการการส่งผ่านของฟรีส (Friis Transmission Equation)	74
2.15	สมการพิสัยเรดาห์	76
2.16	อุณหภูมิสายอากาศ	79
2.17	กำลังที่ถูกดูดซับ (Absorbed Power)	82
2.18	อัตราการดูดซับเฉพาะ (Specific Absorption Rate)	82
	สรุป	83
	โจทย์ปัญหาบทที่ 2	84
บทที่ 3 สายอากาศพื้นฐาน		85
	วัตถุประสงค์	85
	บทนำ	86
3.1	สายอากาศเส้นลวดตรง (Linear Wire Antennas)	86
3.1.1	สายอากาศไดโพลจิ๋ว (Infinitesimal Dipole)	86
3.1.2	สายอากาศไดโพลเล็ก (Small Dipole)	91
3.1.3	สายอากาศไดโพลความยาวครึ่งคลื่น (Half-Wavelength Dipole)	93
3.2	สายอากาศแบบบ่วง (Loop Antenna)	96
3.2.1	สายอากาศแบบบ่วงขนาดเล็ก (Small Loop Antenna)	96
3.2.2	สายอากาศแบบบ่วงขนาดใหญ่ (Large Loop Antenna)	98
3.3	สายอากาศยาคิ (Yagi-Uda Antenna)	99
3.4	สายอากาศไมโครสตริป (Microstrip Antenna)	102
3.5	สายอากาศแถวลำดับ (Array Antenna)	107
3.5.1	สายอากาศแถวลำดับขนาด 2x1	108
3.5.2	สายอากาศแถวลำดับขนาด N x1	111
3.5.3	สายอากาศแถวลำดับแบบขบวนด้านข้าง (Broadside Array)	112
3.5.4	สายอากาศแถวลำดับขนานใกล้ (Collinear Array)	114
3.5.5	สายอากาศแถวลำดับแบบเอนด์ไฟร์สามัญ (Ordinary End-Fire Array)	115
3.5.6	สายอากาศแถวลำดับแบบซ้อนกันแนวตั้งและแนวนอน (Vertical and Horizontal Stacking)	116
3.5.7	สายอากาศแถวลำดับเชิงระนาบ (Planar Array Antenna)	117

3.5.8	สายอากาศแถวลำดับเชิงวงกลม (Circular Array Antenna)	118
3.5.9	การคัปปลิงของสายอากาศในสายอากาศแถวลำดับ	119
3.6	สายอากาศแบบใช้จานพาราโบลา	120
3.7	สายอากาศแบบระนาบพื้นดิน (Ground-Plane Antenna)	121
3.8	สายอากาศปีกไก่ (Adcock Antenna)	122
3.9	สายอากาศสี่เหลี่ยมเปียกปูน (Rhombic Antenna)	123
3.10	สายอากาศรูปตัววี (V Antenna)	124
3.11	สายอากาศไดโพลแบบพับ (Folder Dipole Antenna)	125
	สรุป	126
	โจทย์ปัญหาบทที่ 3	127
บทที่ 4	สายอากาศสมัยใหม่	129
	วัตถุประสงค์	129
	บทนำ	130
4.1	สายอากาศสมัยใหม่	130
4.1.1	สายอากาศประเภทอภิวัดดู (Metamaterials)	130
4.1.1.1	สายอากาศคลื่นรีว (LWAs)	131
4.1.1.2	สายอากาศเรโซแนนซ์ขนาดเล็ก	134
4.1.2	สายอากาศประเภทแอคทีฟ (Active Antenna)	136
4.1.3	สายอากาศไมโครสตริบแบบหลายแถบความถี่ (Multiple-Band Microstrip Antenna)	137
4.1.4	สายอากาศที่ปรับค่าได้	150
4.1.4.1	การใช้พารามิเตอร์ของสายอากาศในการปรับค่า	151
4.1.4.2	การใช้ระยะห่างในการปรับค่า	151
4.1.4.3	การใช้ความถี่เนื่องในการปรับค่า	151
4.2	เทคโนโลยีระบบเครื่องกลไฟฟ้าจุลภาค (MEMS) ในสายอากาศแบบปรับค่าได้	154
4.2.1	สวิตช์ระบบเครื่องกลไฟฟ้าจุลภาค (MEMS Switch)	155
4.2.1.1	สวิตช์โครงสร้างปลายยื่น (Cantilever Switch)	155
4.2.1.2	สวิตช์โครงสร้างสะพานอากาศ (Air-bridge Switch)	156
4.2.2	การประยุกต์ใช้เทคโนโลยีระบบเครื่องกลไฟฟ้าจุลภาค (MEMS) ในสายอากาศแบบปรับค่าได้	156
4.2.2.1	สวิตช์ระบบเครื่องกลไฟฟ้าจุลภาคกับสายอากาศไดโพลแบบครึ่งคลื่น	157
4.2.2.2	สวิตช์ระบบเครื่องกลไฟฟ้าจุลภาคกับสายอากาศแบบร่องครึ่งคลื่น	158
4.2.2.3	สวิตช์ระบบเครื่องกลไฟฟ้าจุลภาคกับสายอากาศแบบไมโครสตริบ	158

สรุป	159
โจทย์ปัญหาบทที่ 4	160
บทที่ 5 การวัดคุณสมบัติสายอากาศ	161
วัตถุประสงค์	161
บทนำ	162
5.1 พื้นที่ทดสอบแบบเปิดโล่ง (Open Area Test Site: OATS)	163
5.1.1 ค่าลดทอนสถานทดสอบที่ปรับบรรทัดฐาน (Normalized-site-attenuation: NSA)	163
5.2 กล้องกำเนิดสนามแม่เหล็กไฟฟ้าในทรานสเวอร์รีเล็กโทรมกนิติกส์ในช่วงความถี่สูงระดับ กิกะเฮิร์ตซ์ (GTEM Cell)	166
5.2.1 การทดสอบค่าความสม่ำเสมอของสนาม (Field Uniformity) ของ GTEM Cell	168
5.3 ห้องปิดกั้นคลื่นแม่เหล็กไฟฟ้า (Anechoic Chamber)	170
5.3.1 การเลือกกระยะในการทดสอบภายในห้องปิดกั้นคลื่นแม่เหล็กไฟฟ้า	170
5.3.2 ห้องปิดกั้นคลื่นแม่เหล็กไฟฟ้าแบบสมบูรณ์ (Fully Anechoic Chamber)	171
5.3.3 ห้องปิดกั้นกึ่งไร้คลื่นสะท้อนแม่เหล็กไฟฟ้า (Semi Anechoic Chamber)	175
5.4 การทดสอบห้องปิดกั้นคลื่นแม่เหล็กไฟฟ้า	175
5.4.1 วิธีการวัดค่าอัตราส่วนคลื่นนิ่ง (VSWR Measurement Method)	177
5.4.1.1 การหาค่าปริมาตรการทดสอบจากอัตราส่วนคลื่นนิ่ง	178
5.4.2 วิธีการวัดค่าลดทอนสถานทดสอบที่ปรับบรรทัดฐาน (Normalized-Site-Attenuation: NSA)	181
5.4.2.1 วิธีการวัดสำหรับห้องปิดกั้นคลื่นสนามแม่เหล็กไฟฟ้าแบบสมบูรณ์	181
5.4.2.2 วิธีการวัดสำหรับห้องปิดกั้นกึ่งไร้คลื่นสะท้อนแม่เหล็กไฟฟ้า	182
5.5 การวัดสายอากาศ (Antenna Measurement)	184
5.5.1 เครื่องมือที่ต้องการในการวัดสายอากาศ	184
5.5.2 การวัดรูปแบบการแพร่กระจายคลื่น (Radiation Pattern)	188
5.5.3 ค่าความกว้างลำ (Beamwidth) ของสายอากาศ	189
5.5.4 การวัดอัตราการขยายและค่าประสิทธิภาพของสายอากาศ	190
5.5.5 การวัดค่าประสิทธิภาพ (Efficiency) ของสายอากาศ	191
5.5.6 การวัดค่าเฟสของสายอากาศ	191
5.5.7 การวัดค่าโพลาริเซชันของสายอากาศ	192
5.5.8 การวัดค่าความต้านทานขาเข้า (Input Impedance) และอัตราส่วนคลื่นนิ่ง (VSWR)	194
5.5.9 การวัดค่าแบนด์วิธของสายอากาศ (Bandwidth)	195
สรุป	196
โจทย์ปัญหาบทที่ 5	197

บทที่ 6 การประยุกต์ใช้สายอากาศ	199
วัตถุประสงค์	199
บทนำ	200
6.1 สายอากาศรวมสำหรับการสื่อสารส่วนบุคคลไร้สาย (Integrated Antennas for Wireless Personal Communications)	200
6.1.1 ความรู้พื้นฐานในการออกแบบ	202
6.1.2 การประยุกต์ใช้สายอากาศกับโทรศัพท์เคลื่อนที่	203
6.1.2.1 สายอากาศภายนอกที่ใช้กับโทรศัพท์เคลื่อนที่	203
6.1.2.2 สายอากาศภายในที่ใช้กับโทรศัพท์เคลื่อนที่	204
6.1.2.3 การประยุกต์ใช้สายอากาศกับเครื่องคอมพิวเตอร์วางตั้ง (Laptop)	204
6.1.2.4 การประยุกต์ใช้สายอากาศกับเทคโนโลยีระบบสื่อสารไร้สายแบบ หลากหลายสัญญาณส่งและรับ (MIMO)	206
6.2 การประยุกต์ใช้สายอากาศสำหรับสถานีฐาน (Antennas for Base Stations)	212
6.2.1 การออกแบบสายอากาศสำหรับสถานีฐาน	213
6.2.1.1 การปรับลำคลื่นสายอากาศในแนวตั้ง	214
6.2.1.2 การลดลำคลื่นด้านข้าง (Sidelobe) โดยการออกแบบสายอากาศแถวลำดับ	215
6.2.1.3 การรวมระบบสื่อสารวิทยุเข้ากับสายอากาศ	218
6.2.1.4 การใช้เทคโนโลยีแอคทีฟที่ฟักกับสายอากาศ (Active Antenna System: AAS)	218
6.2.1.5 การออกแบบสายอากาศสำหรับใช้กับเทคโนโลยีระบบสื่อสารไร้สายแบบ หลากหลายสัญญาณส่งและรับ (Massive MIMO)	220
6.3 การประยุกต์ใช้สายอากาศในระบบการสื่อสารเส้นใยนำแสง	223
6.3.1 สายอากาศสำหรับเครือข่ายไร้สายในระบบการสื่อสารเส้นใยนำแสง	223
6.3.2 สายอากาศรวมกับอุปกรณ์เชิงแสง (Photonic Active Integrated Antennas: PhAIAs)	225
6.3.3 ระบบการแพร่กระจายสัญญาณเครือข่ายไร้สายผ่านเส้นใยนำแสง โดยใช้สายอากาศรวมกับอุปกรณ์เชิงแสง	228
6.3.4 สายอากาศสำหรับระบบการสื่อสารเส้นใยนำแสงในระบบ 5G	229
สรุป	232
โจทย์ปัญหาบทที่ 6	233
บรรณานุกรม	235
ประวัติผู้เขียน	241

สารบัญรูป

	หน้า
รูปที่ 1.1 แผนภาพการทำงานของสายอากาศของนายกุลเยลโม มาร์โกนี	22
รูปที่ 1.2 แผนภาพการทำงานของสายอากาศ	23
รูปที่ 1.3 การแพร่กระจายของคลื่นแม่เหล็กไฟฟ้าออกจากสายส่ง	24
รูปที่ 1.4 การแยกปลายเปิดสายส่งทั้งสองให้ห่างออกจากกัน	25
รูปที่ 1.5 การกระจายของแรงดันและกระแสในทางอุดมคติ	25
รูปที่ 1.6 การเหนี่ยวนำระหว่างเสาอากาศทั้งสอง	26
รูปที่ 1.7 การกระจายของกระแสบนสายอากาศเรโซแนนซ์ที่ค่าความยาวต่างๆ	26
รูปที่ 1.8 รูปแบบการแพร่กระจายของสายอากาศเรโซแนนซ์ไดโพลที่ค่าความยาวต่างๆ	27
รูปที่ 1.9 รูปแบบการแพร่กระจายของสายอากาศแบบไม่เรโซแนนซ์	27
รูปที่ 1.10 การเหนี่ยวนำระหว่างเสาอากาศทั้งสอง	28
รูปที่ 1.11 แถบย่านความถี่และความยาวคลื่นของคลื่นแม่เหล็กไฟฟ้า	29
รูปที่ 1.12 ลักษณะการเคลื่อนที่ของคลื่นแม่เหล็กไฟฟ้า	29
รูปที่ 1.13 การเกิดโพลารไรซ์ของเวกเตอร์สนามไฟฟ้า (ก) แบบเส้นตรง (ข) แบบวงกลม และ (ค) แบบวงรี	30
รูปที่ 1.14 โพลารไรเซชันในแนวแกนนอน	32
รูปที่ 1.15 โพลารไรเซชันในแนวแกนตั้ง	32
รูปที่ 1.16 สายอากาศที่มีแนวแกนโพลารไรเซชันในแนวแกนใดแกนหนึ่ง	33
รูปที่ 1.17 คลื่นลัทธิสองลูกในแนวระนาบที่มีค่า σ เท่ากับศูนย์ และเวกเตอร์สนามไฟฟ้าที่มีการโพลารไรซ์แบบเส้นตรง	34
รูปที่ 1.18 คลื่นลัทธิของแสงที่เกิดโพลารไรเซชันในแนวเชิงเส้นที่มีค่ายอดคลื่นไม่เท่ากัน และมีเฟสระหว่างกัน σ ที่ไม่เท่ากับศูนย์	35
รูปที่ 1.19 การรวมกันของสองยอดคลื่นที่เท่ากันซึ่งมีค่าความสัมพันธ์ของเฟสที่แตกต่างกัน $\sigma = \pi/2 + 2m\pi$ เป็นผลให้เกิดโพลารไรเซชันรูปวงกลม	36
รูปที่ 1.20 สายอากาศและการเกิดโพลารไรเซชันในแนวแกนใดแกนหนึ่ง	36
รูปที่ 1.21 ภาพสะท้อน (Image) เหนือพื้นดินที่มีคุณสมบัติการนำไฟฟ้าสมบูรณ์	37
รูปที่ 1.22 ระบบพื้นกราวด์สำหรับสายอากาศในแนวตั้งแบบต่อลงดิน	38
รูปที่ 1.23 คุณลักษณะของสายอากาศแนวตั้งแบบต่อลงดินที่ค่าความยาวของสายอากาศต่างๆ	38
รูปที่ 1.24 คุณลักษณะของสายอากาศแนวตั้งแบบไม่ต่อลงดินที่ค่าความยาวของสายอากาศต่างๆ	39

รูปที่ 1.25 การสื่อสารไร้สายโดยใช้สายอากาศ	40
รูปที่ 1.26 การขับสายอากาศโดยใช้สายส่ง	40
รูปที่ 1.27 การการแพร่กระจายคลื่นดิน	41
รูปที่ 1.28 การการแพร่กระจายคลื่นดิน	42
รูปที่ 1.29 การการแพร่กระจายคลื่นดิน	42
รูปที่ 1.30 ระบบพิกัดฉากสามมิติ	43
รูปที่ 1.31 ระบบพิกัดทรงกระบอก	43
รูปที่ 1.32 ระบบพิกัดทรงกลม	44
รูปที่ 2.1 ระบบพิกัดแสดงแบบรูปการแผ่พลังงานของสายอากาศ	50
รูปที่ 2.2 (ก) แบบรูปสนาม (Field Pattern) และ (ข) แบบรูปการแผ่กำลังงาน (Power Pattern)	51
รูปที่ 2.3 แบบรูปการแผ่กำลังงานหลัก ระนาบสนามไฟฟ้า (E-plane) และระนาบสนามแม่เหล็ก (H-plane) ของสายอากาศปากแตร	51
รูปที่ 2.4 แบบรูปการแผ่พลังงานของสายอากาศ (ก) แบบไอโซทรอปิก (ข) แบบรอบตัวในระนาบเดียว และ (ค) แบบมีทิศทาง	52
รูปที่ 2.5 โหลบของแบบรูปการแผ่พลังงานของสายอากาศแบบมีทิศทาง	53
รูปที่ 2.6 ความกว้างลำคลื่นครึ่งกำลังและความกว้างลำคลื่นที่สัญญาณเป็นศูนย์คู่แรก	56
รูปที่ 2.7 แบบรูปการแผ่กระจายกำลังงานทั้งกรณีที่มีและไม่มีโหลบย่อย	60
รูปที่ 2.8 สายอากาศภาคส่งและวงจรสมมูลเทเวินของภาคส่ง	67
รูปที่ 2.9 สายอากาศภาครับและวงจรสมมูลเทเวินของภาครับ	68
รูปที่ 2.10 แสดงทิศทางของเวกเตอร์การโพลาไรซ์ของสายอากาศภาครับและภาคส่งที่ทำให้เกิดค่า PLF ต่างกัน	73
รูปที่ 2.11 สายอากาศภาคส่งและภาครับสำหรับวิเคราะห์สมการการส่งผ่านของฟรีส	74
รูปที่ 2.12 สายอากาศภาคส่งและภาครับสำหรับวิเคราะห์สมการพิสัยเรดาร์	77
รูปที่ 2.13 การพิจารณาอุณหภูมิของระบบในส่วนของภาครับ	80
รูปที่ 3.1 การจัดวางตัวของไดโพลจั่วและองค์ประกอบสนามไฟฟ้าที่เกิดขึ้นบนผิวทรงกลม	87
รูปที่ 3.2 การแจกแจงกระแสบนสายอากาศไดโพลเล็ก	91
รูปที่ 3.3 สายอากาศไดโพลความยาวครึ่งคลื่นที่นำมาประยุกต์ใช้งานจริง	94
รูปที่ 3.4 แบบรูปการแผ่กระจายกำลังงานแบบสามมิติของไดโพลที่มีความยาว $\lambda/2$	94
รูปที่ 3.5 สายอากาศแบบบ่วงขนาดเล็ก	96
รูปที่ 3.6 สายอากาศยาก็พื้นฐาน	99
รูปที่ 3.7 รูปแบบการแผ่คลื่นของไดโพล $\lambda/2$ และรีเฟลกเตอร์ในระนาบแนวราบ	100
รูปที่ 3.8 รูปแบบการแผ่คลื่นของไดโพล $\lambda/2$ และรีเฟลกเตอร์ในระนาบแนวตั้ง	100

รูปที่ 3.9 รูปแบบการแผ่กระจายคลื่นของสายอากาศยาگی	101
รูปที่ 3.10 โครงสร้างทั่วๆ ไปของสายอากาศไมโครสตริป	103
รูปที่ 3.11 สายส่งสัญญาณแบบไมโครสตริป	104
รูปที่ 3.12 การแผ่กระจายคลื่นของสายส่งสัญญาณแบบไมโครสตริป	105
รูปที่ 3.13 การคำนวณสายอากาศไมโครสตริป	106
รูปที่ 3.14 การประยุกต์ใช้งานสายอากาศไมโครสตริป	107
รูปที่ 3.15 สายอากาศไมโครสตริปชนิดอาร์เรย์ชนิด 4x4	108
รูปที่ 3.16 สายอากาศ 2 ต้น ที่ระยะห่างกัน d ในกรณีที่จุดสังเกตอยู่ที่ (θ) ระยะไกล (ข) ระยะไกล	109
รูปที่ 3.17 รูปแบบการแผ่กระจายของสายอากาศไดโพลสองเสาที่มีระยะระหว่างเสาคือ $d = \lambda/4$ และ $\xi = 0$	111
รูปที่ 3.18 รูปแบบการแผ่กระจายของสายอากาศไดโพลสองเสาที่มีระยะระหว่างเสาคือ $d = \lambda/4$ และ $\xi = \pi/2$	111
รูปที่ 3.19 รูปแบบการแผ่กระจายของสายอากาศไดโพลสองเสาที่มีระยะระหว่างเสาคือ $d = \lambda/4$ และ $\xi = -\pi/2$	111
รูปที่ 3.20 สายอากาศ N ต้นที่ระยะห่างกัน d ในกรณีที่จุดสังเกตอยู่ที่ระยะไกล	112
รูปที่ 3.21 แบบรูปที่แสดงแอมพลิจูดของสนามสามมิติแบบแผ่ด้านข้างและแบบแผ่ด้านข้าง/ เอนตีไฟร์	113
รูปที่ 3.22 สายอากาศแถวลำดับขนานไกล	114
รูปที่ 3.23 แบบรูปสามมิติแสดงแอมพลิจูดของสนามของแถวลำดับเอนตีไฟร์ ที่มีทิศพุ่งไปที่ $\theta = 180^\circ$ และ $\theta = 0^\circ$	115
รูปที่ 3.24 สายอากาศแถวลำดับแบบซ้อนกัน (n) แนวตั้ง และ $(ข)$ แนวนอน	116
รูปที่ 3.25 สายอากาศแถวลำดับเชิงระนาบขนาด $M \times N$ ต้นที่ระยะห่างกัน d	117
รูปที่ 3.26 การแผ่กระจายของสายอากาศแถวลำดับเชิงระนาบขนาด 6×6	118
รูปที่ 3.27 สายอากาศแถวลำดับเชิงวงกลมจำนวน N ต้น	118
รูปที่ 3.28 การแผ่กระจายของสายอากาศแถวลำดับเชิงวงกลม	119
รูปที่ 3.29 สายอากาศแบบใช้งานพาราโบลิกและทิศทางการรับคลื่น	120
รูปที่ 3.30 การแผ่กระจายของสายอากาศแบบใช้งานพาราโบลิก	121
รูปที่ 3.31 สายอากาศแบบระนาบพื้นดิน	121
รูปที่ 3.32 การแผ่กระจายของสายอากาศแบบระนาบพื้นดิน	122
รูปที่ 3.33 สายอากาศรูปตัววีและทิศทางการแผ่กระจายคลื่น	122
รูปที่ 3.34 การแผ่กระจายของสายอากาศปีกไก่	123
รูปที่ 3.35 สายอากาศสี่เหลี่ยมเปียกปูนและทิศทางการแผ่กระจายคลื่น	124
รูปที่ 3.36 สายอากาศรูปตัววีและทิศทางการแผ่กระจายคลื่น	124

รูปที่ 3.37 สายอากาศไดโพลแบบพับที่มีความยาว L	125
รูปที่ 4.1 หลักการทำงานของอภิวัดและภาพจำลองของวัสดุตั้งกล่าวที่ใช้ออกแบบสายอากาศ	131
รูปที่ 4.2 การออกแบบวงแหวนเรโซแนนซ์แบบวงเปิดและวงปิด	132
รูปที่ 4.3 แสดงการออกแบบวงแหวนคู่เรโซแนนซ์	132
รูปที่ 4.4 การออกแบบวงจรวงแหวนเรโซแนนซ์แบบปรับค่าได้	133
รูปที่ 4.5 ค่าสัมประสิทธิ์การสะท้อนกลับ (S_{11}) ของวงจรวงแหวนเรโซแนนซ์แบบปรับค่าได้	133
รูปที่ 4.6 (ซ้าย) สายอากาศคลื่นร้าวทั่วไป (ขวา) สายอากาศคลื่นร้าวโดยอาศัยสมบัติอภิวัด	134
รูปที่ 4.7 การแพร่กระจายคลื่น (Radiation Pattern) ในทิศทางที่ตรงกันข้ามโดยอาศัยสมบัติอภิวัด	134
รูปที่ 4.8 สายอากาศเรโซแนนซ์ขนาดเล็กโดยใช้คุณสมบัติอภิวัด	135
รูปที่ 4.9 สายอากาศขนาดเล็กโดยใช้คุณสมบัติอภิวัด	135
รูปที่ 4.10 สายอากาศที่ใช้หลักการเรโซแนนซ์โดยใช้วงแหวนเรโซแนนซ์	135
รูปที่ 4.11 สายอากาศที่ใช้ชั้นผิวเป็นอภิวัด (ซ้าย) ด้านหน้า (ขวา) ด้านหลัง	136
รูปที่ 4.12 โครงสร้างการทำงานของสายอากาศประเภทแอกทีฟ	136
รูปที่ 4.13 โครงสร้างทั่วไปของสายอากาศไมโครสตริป	137
รูปที่ 4.14 ลักษณะงานการขยายเครือข่ายสัญญาณ	138
รูปที่ 4.15 การออกแบบสายอากาศชนิดแพตช์ที่มีความถี่ 2.4 กิกะเฮิร์ตซ์	139
รูปที่ 4.16 (ซ้าย) สายอากาศไมโครสตริปรูปตัวแอล (ขวา) ค่าสัมประสิทธิ์การสะท้อนกลับ (S_{11}) ของสายอากาศ	139
รูปที่ 4.17 การออกแบบสายอากาศไมโครสตริปรูปตัวแอล (ซ้าย) มุมมองด้านบน (ขวา) มุมมองด้านหลัง	140
รูปที่ 4.18 ค่าสัมประสิทธิ์การสะท้อนกลับ (S_{11}) ของสายอากาศไมโครสตริปรูปตัวแอล (ซ้าย) ไม่มีวงแหวนคู่เรโซแนนซ์ (ขวา) มีวงแหวนคู่เรโซแนนซ์	141
รูปที่ 4.19 แสดงการออกแบบสายอากาศไมโครสตริปรูปตัวเอฟ	142
รูปที่ 4.20 โครงสร้างของการออกแบบสายอากาศไมโครสตริปสายพีดรูปตัวเอฟ	142
รูปที่ 4.21 โครงสร้างของการออกแบบสายอากาศรูปเอฟในงานวิจัยของ (Kurma)	143
รูปที่ 4.22 การออกแบบสายอากาศไมโครสตริปรูปตัวเอฟ (ซ้าย) มุมมองด้านบน (ขวา) มุมมองด้านหลัง	143
รูปที่ 4.23 ผลของสายอากาศไมโครสตริปรูปตัวเอฟ (ซ้าย) ไม่มีวงแหวนคู่เรโซแนนซ์ (ขวา) มีวงแหวนคู่เรโซแนนซ์	144
รูปที่ 4.24 สายอากาศไมโครสตริปรูปตัวเอฟที่สร้างขึ้นจริง (ซ้าย) มุมมองด้านบน (ขวา) มุมมองด้านหลัง	144

รูปที่ 4.25 ค่าสัมประสิทธิ์การสะท้อน (S_{11}) ของสายอากาศไมโครสตริปรูปตัวเอฟที่สร้างขึ้นโดย มีวงแหวนคู่โรโซแนนซ์	145
รูปที่ 4.26 ค่าสัมประสิทธิ์การส่งผ่าน (S_{21}) ระหว่างสายอากาศทั้งสองผ่านอากาศ	146
รูปที่ 4.27 ค่าสัมประสิทธิ์การส่งผ่าน (S_{21}) ระหว่างสายอากาศทั้งสองผ่านอากาศโดยเว้น ระยะห่าง 30 ซม.	146
รูปที่ 4.28 อุปกรณ์ขยายสัญญาณ (ERA-1+)	147
รูปที่ 4.29 การต่อวงจรของอุปกรณ์ขยายสัญญาณ (ERA-1+)	147
รูปที่ 4.30 การต่ออุปกรณ์ขยายสัญญาณเข้ากับสายอากาศไมโครสตริปบนสายส่งสัญญาณ ด้านหน้า	147
รูปที่ 4.31 ค่าสัมประสิทธิ์การส่งผ่าน (S_{21}) ระหว่างสายอากาศทั้งสองผ่านอากาศโดยเว้น ระยะห่าง 30 ซม. (มีการใช้ตัวขยายสัญญาณ)	148
รูปที่ 4.32 รูปทรงต่างๆ ที่ใช้ในการออกแบบสายอากาศ เพื่อให้เกิดค่าความถี่เรโซแนนซ์ใหม่	149
รูปที่ 4.33 การออกแบบสายอากาศโดยการนำเอารูปทรงตัวยูและตัวอีมาผสมผสานกัน	149
รูปที่ 4.34 ค่าสัมประสิทธิ์การสะท้อนกลับ (S_{11}) ของสายอากาศโดยการนำเอารูปทรงตัวยู และตัวอีมาผสมผสานกัน	150
รูปที่ 4.35 สายอากาศไดโพลแบบปรับค่าความถี่ได้	152
รูปที่ 4.36 สายอากาศไดโพลแบบปรับค่าความถี่ได้โดยใช้สวิตช์ควบคุม	152
รูปที่ 4.37 สายอากาศไดโพลแบบปรับค่าความถี่ได้โดยใช้สวิตช์ไดโอดควบคุม	154
รูปที่ 4.38 สวิตช์โครงสร้างปลายยื่น (Cantilever Switch)	155
รูปที่ 4.39 สวิตช์โครงสร้างสะพานอากาศ (Air-bridge Switch)	156
รูปที่ 4.40 โครงสร้างสายอากาศไดโพลแบบครึ่งคลื่นที่ใช้สวิตช์ MEMS	157
รูปที่ 4.41 ค่าสัมประสิทธิ์การสะท้อนกลับ (S_{11}) ของสายอากาศไดโพลแบบครึ่งคลื่นที่ใช้สวิตช์ MEMS	157
รูปที่ 4.42 โครงสร้างสายอากาศไดโพลแบบช่องคลื่นที่ใช้สวิตช์ MEMS	158
รูปที่ 4.43 โครงสร้างสายอากาศแบบไมโครสตริปที่ใช้สวิตช์ MEMS	159
รูปที่ 5.1. รูปร่างของพื้นที่ทดสอบแบบเปิดโล่ง (OAT)	163
รูปที่ 5.2. กำลังส่งสัญญาณจากสายอากาศภาครับไปยังภาคส่งตามหลักการของฟรีส	164
รูปที่ 5.3 การคำนวณค่าลดทอนสถานทดสอบที่ปรับบรรทัดฐาน	165
รูปที่ 5.4 แสดงค่า NSA ที่คำนวณได้จากสมการ (5.5)	166
รูปที่ 5.5 ตัวอย่างของ TEM Cell	167
รูปที่ 5.6 การออกแบบและรูปสำเร็จของ GTEM Cell	167
รูปที่ 5.7 ตำแหน่งการวัดค่าสนามไฟฟ้าของ GTEM Cell	168
รูปที่ 5.8 การตั้งค่าระบบการวัดสนามไฟฟ้าของ GTEM Cell	169

รูปที่ 5.9	ระยะทดสอบสนามไกลเทียบกับขนาดมิติของสายอากาศ	171
รูปที่ 5.10	ห้องปิดกั้นคลื่นแม่เหล็กไฟฟ้าแบบสมบูรณ์	172
รูปที่ 5.11	แผ่นและคุณสมบัติของเฟอร์ไรต์	172
รูปที่ 5.12	วัสดุที่มีอยู่ภายในประเทศไทยในการสร้างเป็นวัสดุดูดซับคลื่นแม่เหล็กไฟฟ้า: ข้าวเปลือก ข้าวเปลือกป่น ยางพารา และผงถ่าน ตามลำดับ	173
รูปที่ 5.13	แม่แบบอัดขึ้นรูปวัสดุดูดซับคลื่นแม่เหล็กไฟฟ้า	174
รูปที่ 5.14	วัสดุดูดซับคลื่นแม่เหล็กไฟฟ้าทำจาก ข้าวเปลือก ข้าวเปลือกป่น ยางพารา และผงถ่าน	174
รูปที่ 5.15	การเปรียบเทียบความสามารถในการดูดซับคลื่นแม่เหล็กไฟฟ้าของวัสดุดูดซับ	174
รูปที่ 5.16	ห้องปิดกั้นกึ่งไร้คลื่นสะท้อนแม่เหล็กไฟฟ้า	175
รูปที่ 5.17	การวัดปริมาตรทดสอบตามมาตรฐาน CISPR 16-1-4	176
รูปที่ 5.18	ห้องปิดกั้นคลื่นแม่เหล็กไฟฟ้าแบบสมบูรณ์ขนาด 3 เมตร	177
รูปที่ 5.19	การวางตำแหน่งสายอากาศภาคส่งที่ระยะทางทั้งสิ้น 6 ตำแหน่งในแนวเส้นตรงไป ยังจุดที่สายอากาศภาครับ	178
รูปที่ 5.20	ผลการวัดค่าอัตราส่วนคลื่นนิ่งที่ระยะทางทั้งสิ้น 6 ตำแหน่งในแนวเส้นตรงไปยังจุด ที่สายอากาศภาครับ	178
รูปที่ 5.21	ปริมาตรทดสอบภายในห้องปิดกั้นคลื่นสนามแม่เหล็กไฟฟ้า	179
รูปที่ 5.22	การหาค่าความสูงของปริมาตรทดสอบภายในห้องปิดกั้นคลื่นสนามแม่เหล็กไฟฟ้า	179
รูปที่ 5.23	การหาค่า NSA ภายในห้องปิดกั้นคลื่นสนามแม่เหล็กไฟฟ้าแบบสมบูรณ์	180
รูปที่ 5.24	ผลการวัดค่า NSA ภายในห้องปิดกั้นคลื่นสนามแม่เหล็กไฟฟ้าแบบสมบูรณ์	180
รูปที่ 5.25	การหาค่า NSA โดยการเบนลงภายในห้องปิดกั้นคลื่นสนามแม่เหล็กไฟฟ้า แบบสมบูรณ์	182
รูปที่ 5.26	การหาค่า NSA ภายในห้องปิดกั้นกึ่งไร้คลื่นสะท้อนแม่เหล็กไฟฟ้า	182
รูปที่ 5.27	การวัดค่า NSA ภายในห้องปิดกั้นกึ่งไร้คลื่นสะท้อนแม่เหล็กไฟฟ้า	183
รูปที่ 5.28	ผลการวัดค่า NSA ภายในห้องปิดกั้นกึ่งไร้คลื่นสะท้อนแม่เหล็กไฟฟ้า	183
รูปที่ 5.29	แผนผังการวัดคุณสมบัติสายอากาศ	185
รูปที่ 5.30	การแพร่กระจายของคลื่นไปยังสายอากาศภาครับ	186
รูปที่ 5.31	ระยะทดสอบแบบกะทัดรัด (Compact Range)	186
รูปที่ 5.32	การวัดสายอากาศขนาดเล็กโดยใช้กล้อง GTEM Cell	187
รูปที่ 5.33	การวัดรูปแบบการแพร่กระจายของสายอากาศประเภทไมโครสตริป	188
รูปที่ 5.34	ตัวอย่างการวัดรูปแบบการแพร่กระจายของสายอากาศประเภทไมโครสตริป	189
รูปที่ 5.35	ตัวอย่างการวัดค่าความกว้างลำที่นิยมทั้งสองแบบคือ HPBW และ FNBW	189
รูปที่ 5.36	แผนผังการวัดค่าอัตราขยายของสายอากาศ	190
รูปที่ 5.37	แผนผังการวัดค่าอัตราขยายของสายอากาศ (เมื่อแทนที่ด้วยสายอากาศทดสอบ)	190

รูปที่ 5.38	แผนผังการวัดค่าเฟสของสายอากาศ	191
รูปที่ 5.39	แผนผังการวัดค่าโพลาริเซชันของสายอากาศ	192
รูปที่ 5.40	ผลการวัดค่าโพลาริเซชันของสายอากาศ	193
รูปที่ 5.41	ผลการวัดค่าโพลาริเซชันของสายอากาศแบบแนวแกนโพลาริเซชันเป็นแบบวงกลม	193
รูปที่ 5.42	เครื่องวิเคราะห์เครือข่ายสองพอร์ต	194
รูปที่ 5.43	ชุดอุปกรณ์สอบเทียบเครื่องวิเคราะห์เครือข่ายสองพอร์ต (ซ้าย) หัวต่อชนิด N (ขวา) หัวต่อชนิด SMA	195
รูปที่ 5.44	ตัวอย่างค่า S_{11} และ VSWR จากเครื่องวิเคราะห์เครือข่ายสองพอร์ต	175
รูปที่ 5.45	แบนด์วิดท์ของสายอากาศจากค่า S_{11} และ VSWR	196
รูปที่ 6.1	อุปกรณ์สื่อสารไร้สายส่วนบุคคล	201
รูปที่ 6.2	การออกแบบสายอากาศสำหรับอุปกรณ์สื่อสารไร้สายส่วนบุคคล	201
รูปที่ 6.3	สายอากาศภายนอกที่ใช้กับโทรศัพท์เคลื่อนที่(ซ้าย) สายอากาศแบบโมโนโพล (Monopoles) (ขวา) สายอากาศขนาดเล็ก(Stubby)	204
รูปที่ 6.4	สายอากาศแนวระนาบรูปทรงตัวเอฟกลับหัว (ซ้าย) สายอากาศโมโนโพล แบบขด (ขวา)	204
รูปที่ 6.5	สายอากาศชนิดโมโนโพลสำหรับเครื่องคอมพิวเตอร์วางตั้ง (Laptop)	206
รูปที่ 6.6	ผลการตอบสนอง (S_{11}) ของสายอากาศชนิดโมโนโพลสำหรับเครื่องคอมพิวเตอร์วาง ตั้ง (Laptop)	206
รูปที่ 6.7	ลักษณะการจัดวางสายอากาศบนคอมพิวเตอร์วางตั้ง (Laptop)	207
รูปที่ 6.8	ระบบการสื่อสารโดยเทคโนโลยี MIMO ทั่วไป	208
รูปที่ 6.9	แผนผังของเทคโนโลยี MIMO ที่มีการคัปปลิงของสายอากาศย่อยภาครับและภาคส่ง	211
รูปที่ 6.10	ตัวสะท้อนสัญญาณเชิงมุม (Corner Reflector)	213
รูปที่ 6.11	การตั้งสถานีฐานโทรศัพท์เคลื่อนที่สำหรับการใช้ช่องสัญญาณความถี่ซ้ำ f_1 , f_2 และ f_3	214
รูปที่ 6.12	การปรับลำคลื่นสายอากาศในแนวตั้ง	215
รูปที่ 6.13	สายอากาศของสถานีฐานที่สามารถปรับลำคลื่นได้	215
รูปที่ 6.14	วิวัฒนาการของสายอากาศของสถานีฐานแบบต่างๆ	216
รูปที่ 6.15	การรวมระบบสื่อสารวิทยุเข้ากับสายอากาศ	218
รูปที่ 6.16	วิวัฒนาการของการใช้เทคโนโลยีแยกที่พกับสายอากาศ	219
รูปที่ 6.17	การใช้เทคโนโลยีแยกที่พกับสายอากาศ	219
รูปที่ 6.18	การใช้เทคโนโลยี Massive MIMO ทำให้สามารถสื่อสารได้พร้อมกันหลากหลาย เส้นทาง	220
รูปที่ 6.19	สายอากาศแถวลำดับเชิงเส้นสำหรับ Massive MIMO รูปทรงระบอบก	221

รูปที่ 6.20 ค่าผลการตอบสนองทางความถี่ (S11) ของสายอากาศแถวลำดับเชิงเส้นสำหรับ Massive MIMO รูปทรงกระบอก	222
รูปที่ 6.21 ความสามารถในการปรับมุมของสายอากาศแถวลำดับเชิงเส้นสำหรับ Massive MIMO รูปทรงกระบอกในแนวระนาบแต่ละเซกเตอร์ที่ 30 องศา	222
รูปที่ 6.22 สายอากาศแถวลำดับเชิงเส้นสำหรับเทคโนโลยี Massive MIMO รูปทรงระนาบ (ขวา) รูปแบบการแพร่กระจายคลื่น (ซ้าย)	223
รูปที่ 6.23 การแพร่กระจายสัญญาณเครือข่ายไร้สายตามมาตรฐานต่างๆ ภายในอาคาร และสนามบิน	224
รูปที่ 6.24 แผนผังการเชื่อมต่อของระบบแพร่กระจายสัญญาณเครือข่ายไร้สายในระบบ เส้นใยนำแสง	225
รูปที่ 6.25 สายอากาศที่รวมกับอุปกรณ์เชิงแสง (ซ้าย) กับอุปกรณ์เลเซอร์ และ (ขวา) กับอุปกรณ์รับแสง	226
รูปที่ 6.26 ผลตอบสนองต่อความถี่ของสายอากาศรวมกับอุปกรณ์เชิงแสง (ซ้าย) กับเลเซอร์ และ (ขวา) กับอุปกรณ์รับแสง	226
รูปที่ 6.27 สายอากาศรวมกับอุปกรณ์เชิงแสงโดยการใช้วงจรแมตซ์ซึ่งประเภทสลับเดี่ยว (ก) ด้านหน้า (ข) ด้านข้าง	227
รูปที่ 6.28 สายอากาศรวมกับอุปกรณ์เชิงแสงโดยการใช้วงจรแมตซ์ซึ่งประเภทสลับเดี่ยว	227
รูปที่ 6.29 ผลตอบสนองต่อความถี่ของสายอากาศรวมกับอุปกรณ์เชิงแสงโดยการใช้วงจรแมตซ์ซึ่งประเภทสลับเดี่ยวกับอุปกรณ์รับแสง	228
รูปที่ 6.30 ระบบกระจายสัญญาณเครือข่ายไร้สายผ่านเส้นใยนำแสงโดยใช้สายอากาศ รวมกับอุปกรณ์เชิงแสง	229
รูปที่ 6.31 ค่าปริมาณข้อมูลสัมฤทธิ์ผลและความแรงสัญญาณเทียบกับระยะทาง	229
รูปที่ 6.32 สายอากาศสำหรับระบบการสื่อสารเส้นใยนำแสงในระบบ 5G	230
รูปที่ 6.33 ระบบสายอากาศสำหรับระบบการสื่อสารเส้นใยนำแสงในระบบ 5G	231
รูปที่ 6.34 แผนภาพดวงดาวของสัญลักษณ์ที่ภาครับที่การมอดูเลตข้อมูล แบบ 16-QAM, 32-QAM และ 64-QAM ตามลำดับ	231

สารบัญตาราง

	หน้า
ตารางที่ 4.1 ค่าพารามิเตอร์ที่ใช้ในการออกแบบสายอากาศไมโครสตริปรูปร่างตัวแอล	141
ตารางที่ 4.2 ค่าพารามิเตอร์ที่ใช้ในการออกแบบสายอากาศไมโครสตริปรูปร่างตัวแอล	144
ตารางที่ 4.3 ตารางการเปรียบเทียบประสิทธิภาพของสวิตช์	156
ตารางที่ 5.1 ผลการวัดค่าสนามแม่เหล็กไฟฟ้าใน GTEM Cell ทั้ง 10 จุด	169

บทนำและความสำคัญ ของสายอากาศ



โดย รศ. ดร.วิทวัส สิริฐกุล

วัตถุประสงค์

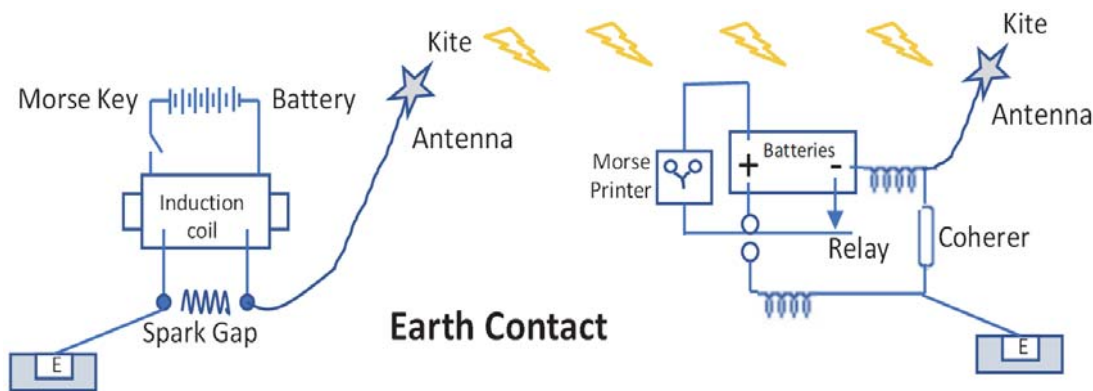
เพื่ออธิบายถึงความเป็นมาและความสำคัญของการใช้สายอากาศในงานทางด้านวิศวกรรมสายอากาศ คำจำกัดความ และคุณลักษณะของสายอากาศ คุณสมบัติของคลื่นแม่เหล็กไฟฟ้า การแพร่กระจายคลื่นแม่เหล็กไฟฟ้าและผลกระทบของพื้นดินในระบบการสื่อสารไร้สายโดยใช้สายอากาศ และเข้าใจถึงระบบพิกัดแบบต่างๆ เพื่อใช้ในการคำนวณหาปริมาณทางเวกเตอร์ของพารามิเตอร์ของสายอากาศในบทต่อไปได้

บทนำ

ปัจจุบันสายอากาศถูกนำมาใช้กันอย่างแพร่หลายในระบบโครงข่ายสื่อสารโทรคมนาคมทั่วโลก เมื่อเรามองไปรอบตัวเราในสถานที่ต่างๆ เราจะพบสายอากาศอยู่ทุกหนทุกแห่ง ไม่ว่าจะสายอากาศจะถูกติดตั้งภายในหรือภายนอกอุปกรณ์ต่างๆ ยกตัวอย่างเช่น โทรศัพท์ไร้สาย คอมพิวเตอร์ เมาส์ไร้สาย ลำโพงไร้สาย เซนเซอร์ไร้สาย โทรทัศน์ และอุปกรณ์อิเล็กทรอนิกส์เกือบทุกชนิด

1.1 ประวัติศาสตร์ของสายอากาศ

ประวัติศาสตร์ของสายอากาศนั้น อาจจะต้องย้อนไปถึงสมัย นายเจมส์ เคลิร์ก แมกซ์เวลล์ (James Clark Maxwell) ผู้แสดงถึงความสัมพันธ์ระหว่างชุดของสมการที่อธิบายถึงปรากฏการณ์ทางธรรมชาติของคลื่นแม่เหล็กไฟฟ้าที่ลึกซึ้งที่รู้จักกันในนามของสมการของแมกซ์เวลล์ ผลงานของเขาได้รับการตีพิมพ์เป็นครั้งแรกในปี ค.ศ. 1873 นอกจากนี้เขายังแสดงให้เห็นว่าแสงเป็นคลื่นแม่เหล็กไฟฟ้าและคลื่นแสงและคลื่นแม่เหล็กไฟฟ้าทั้งสองเดินทางควบคู่กันไป ในปี ค.ศ. 1886 ศาสตราจารย์ไฮน์ริช รูดอล์ฟ เฮอร์ตซ์ (Heinrich Rudolph Hertz) สามารถผลิตระบบคลื่นแม่เหล็กไฟฟ้าไร้สายในห้องปฏิบัติการของเขาที่ความยาวคลื่น 4 เมตร โดยการสร้างการเกิดประกายไฟ (Spark) ในช่องอากาศว่างผ่านสายอากาศไดโพลชนิดครึ่งคลื่น และสามารถตรวจพบประกายไฟในช่องอากาศว่างของวงรอบตัวมันได้ จนกระทั่งปี ค.ศ. 1901 นายกุลเยลโม มาร์โกนี (Guglielmo Marconi) สามารถส่งสัญญาณไร้สายในระยะทางไกลได้ในปี ค.ศ. 1901 เขาแสดงการส่งผ่านสัญญาณไร้สายข้ามมหาสมุทรแอตแลนติกเป็นครั้งแรกจากเมืองคอร์นวอลล์ ประเทศอังกฤษ ไปยังเมืองเซนต์จอห์นส์ ประเทศแคนาดา โดยสายอากาศส่งสัญญาณของเขาประกอบด้วยสายไฟวางในแนวตั้งจำนวน 50 เส้น ในรูปแบบของพัดที่เชื่อมต่อกับพื้นดินเพื่อส่งผ่านประกายไฟ สายไฟเหล่านี้ถูกขึงในแนวนอนด้วยระยะห่างระหว่างเสาไม้ 60 เมตร สายอากาศรับสัญญาณที่เมืองเซนต์จอห์นส์เป็นลวดยาว 200 เมตร ที่ตั้งและขึงโดยว่าวดังรูปที่ 1.1

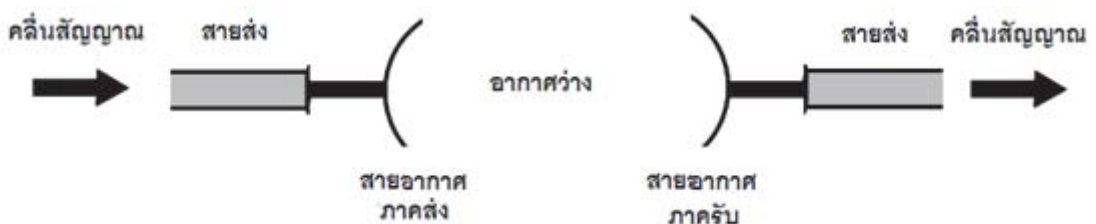


รูปที่ 1.1 แผนภาพการทำงานของสายอากาศของนายกุลเยลโม มาร์โกนี

ภายหลังจากนั้นเป็นต้นมา จึงเกิดการสร้างสายอากาศปากแตรและตัวสะท้อนสัญญาณเพื่อใช้กับงานทางด้านการสื่อสารไร้สายขึ้น นอกจากนี้ปัจจัยที่เอื้อต่อยุคใหม่นี้คือการประดิษฐ์แหล่งจ่ายสัญญาณไมโครเวฟที่มีความถี่ตั้งแต่ 1 GHz ขึ้นไป เทคโนโลยีสมัยใหม่ในยุคทศวรรษที่ 1960 ถึงทศวรรษที่ 1990 มีผลกระทบสำคัญต่อความก้าวหน้าของเทคโนโลยีสายอากาศอันทันสมัย และคาดว่าจะมีอิทธิพลอย่างมากต่อวิศวกรรมสายอากาศในศตวรรษที่ 21 เริ่มต้นในช่วงต้นทศวรรษที่ 1960 โดยใช้วิธีการเชิงตัวเลขเพื่อให้สามารถวิเคราะห์และออกแบบโครงสร้างสายอากาศอันซับซ้อนที่ก่อนหน้านี้ได้อย่างถูกต้อง

1.2 คำจำกัดความของสายอากาศ (Definitions of Antenna)

หากเราจะอ้างอิงถึงคำนิยามของสายอากาศตามมาตรฐานแล้ว คำนิยามของสายอากาศถูกให้ไว้ในมาตรฐาน IEEE 145-1983 ว่า “วิธีการหนึ่งสำหรับการแพร่กระจายหรือการรับคลื่นวิทยุ” แต่คำจำกัดความของสายอากาศโดยทั่วไปจะหมายถึงโครงสร้างซึ่งรองรับการเคลื่อนที่ของคลื่นที่เคลื่อนที่ไประหว่างท่อนำคลื่นและอากาศว่าง และในทางกลับกันก็สามารถหมายถึงโครงสร้างซึ่งรองรับการเคลื่อนที่ของคลื่นที่เคลื่อนที่ไประหว่างอากาศว่างและท่อนำคลื่น ในที่นี้คำว่า “อากาศว่าง” ในทางปฏิบัติอาจจะเกิดผลกระทบจากสภาพแวดล้อมโดยรอบ ยกตัวอย่างเช่น ดึกอากาศ และต้นไม้ เป็นต้น ซึ่งขัดขวางการเดินทางของคลื่นในการเคลื่อนที่ของคลื่นในอากาศนั้นคลื่นจะดูดซับพลังงานจากสายส่งและส่งผ่านพลังงานไปในอากาศว่างจนไปถึงสายอากาศภาครับสัญญาณ สายอากาศจะทำหน้าที่ในการรวบรวมพลังงานจากคลื่นกระทบและส่งพลังงานต่อไปยังสายส่งดังรูปที่ 1.2



รูปที่ 1.2 แผนภาพการทำงานของสายอากาศ

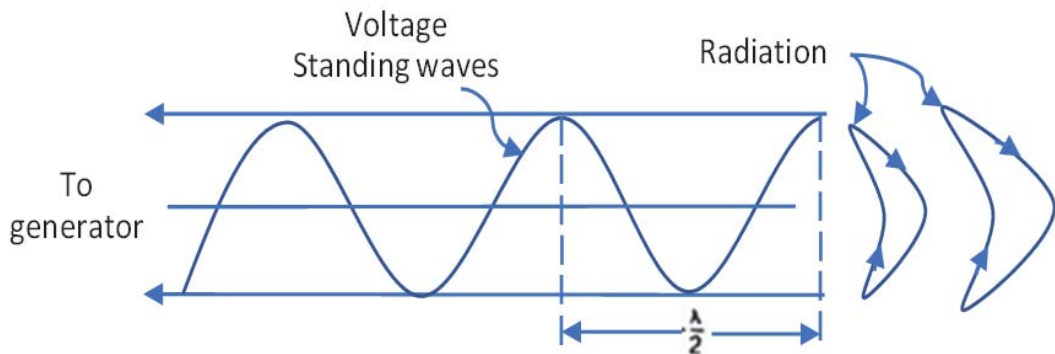
เมื่อเราพูดถึงสายอากาศ โดยมากเราจะพูดถึงคุณสมบัติของสายอากาศภาคส่งเท่านั้น แต่ในความเป็นจริงแล้วคุณสมบัติของสายอากาศภาครับและภาคส่งจะเหมือนกัน หากเป็นสายอากาศชนิดเดียวกันที่เหมือนกันทุกประการ เช่น ลักษณะการแพร่กระจายของสายอากาศ และอัตราขยายของสายอากาศ อย่างไรก็ตามในทางปฏิบัติแล้วสายอากาศภาคส่งและภาครับอาจไม่จำเป็นต้องมีคุณสมบัติเหมือนกัน ขึ้นอยู่กับลักษณะการใช้งาน ยกตัวอย่างเช่น ระบบการสื่อสารของโทรศัพท์ไร้สายซึ่งต้องการการสื่อสารระหว่างสายอากาศภายในโทรศัพท์ไร้สายและสายอากาศของสถานีฐาน โดยสายอากาศของโทรศัพท์ไร้สายจะต้องมีขนาดเล็กและอัตราขยายต่ำ ในขณะที่สายอากาศของสถานีฐานจะมีขนาดใหญ่และอัตราขยายสูง นอกจากนี้โครงสร้างของสายอากาศยังแตกต่างกันขึ้นอยู่กับลักษณะการใช้งานอีกด้วย เช่น รูปร่างของ

สายอากาศ ซึ่งมันจะขึ้นกับลักษณะการแพร่กระจายของสายอากาศ และยังขึ้นอยู่กับวิธีการต่อสายอากาศอีกด้วย เช่น การใช้สายอากาศเดี่ยวหรือการต่อสายอากาศแบบแถวลำดับ

1.3 กลไกการทำงานของสายอากาศ

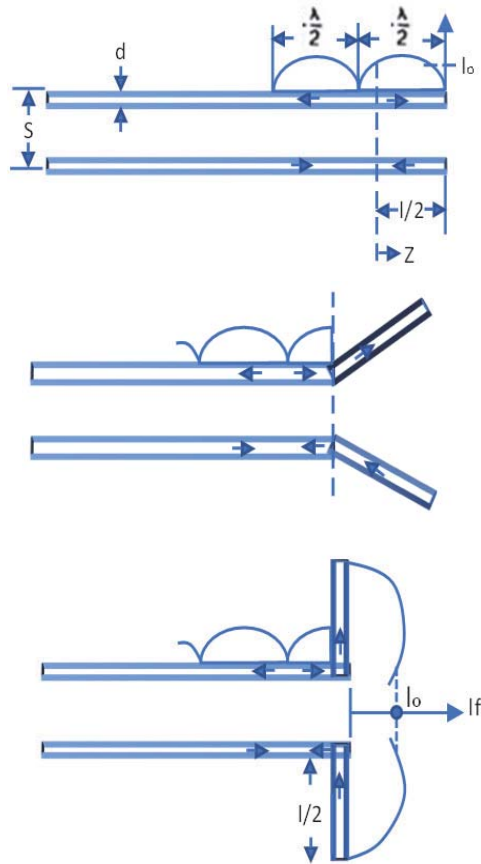
1.3.1 การแพร่กระจายของคลื่นแม่เหล็กไฟฟ้าออกจากสายส่ง

เมื่อมีการป้อนสัญญาณเข้าไปในสายส่งวงจรเปิด กระแสไฟฟ้าจะเดินทางไปตามสายส่งและเมื่อถึงปลายเปิดของสายส่งจะเกิดการสะท้อนกลับ เนื่องจากค่าอิมพีแดนซ์ระหว่างสายส่งและอากาศว่างไม่เท่ากัน หรือการเกิดภาวะไม่แมตซ์ซึ่งอิมพีแดนซ์ (Impedance Matching) ผลรวมของสัญญาณที่เดินทางไปข้างหน้าและสัญญาณที่สะท้อนกลับจะทำให้เกิดเป็นผลรวมของคลื่นเป็นคลื่นนิ่ง (Standing Wave) บนสาย ดังรูปที่ 1.3 สัญญาณที่สะท้อนกลับจะมีค่าไม่เท่ากับสัญญาณที่ป้อนเข้าไปทั้งหมด เพราะว่ามีสนามแม่เหล็กไฟฟ้าส่วนหนึ่งถูกแพร่กระจายออกไป



รูปที่ 1.3 การแพร่กระจายของคลื่นแม่เหล็กไฟฟ้าออกจากสายส่ง

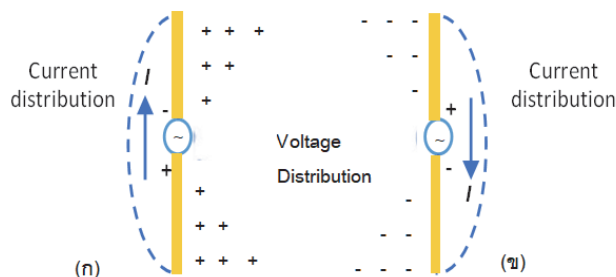
ทั้งนี้สนามแม่เหล็กไฟฟ้าส่วนหนึ่งถูกแพร่กระจายออกไปที่ปลายสายนี้ จะมีปริมาณมากหรือน้อยขึ้นอยู่กับพื้นที่บริเวณปลายเปิดของสาย ซึ่งหากต้องการให้เกิดภาวะแมตซ์อิมพีแดนซ์ระหว่างปลายสายอากาศและอิมพีแดนซ์ของอากาศ (377Ω) จะทำให้เกิดการถ่ายเทพลังงานสูงสุด และอีกประเด็นหนึ่งคือข้อผิดพลาดของสายอากาศที่นำกระแสไฟฟ้าชั่ววอกและลบ หากข้อผิดพลาดทั้งสองอยู่ติดกันมาก จะส่งผลให้สนามแม่เหล็กไฟฟ้าที่ร่วออกเกิดการหักล้างกัน ทำให้สายส่งแบบคู่ขนานมีการแพร่กระจายน้อยมาก ดังนั้นเพื่อให้เกิดการแพร่กระจายของคลื่นแม่เหล็กไฟฟ้าออกจากสายส่งได้มากที่สุด เราจึงนิยมแยกปลายสายทั้งสองให้ห่างออกจากกันดังรูปที่ 1.4 ทำให้เกิดการหักล้างของการแพร่กระจายจากปลายสายน้อยลง ทั้งนี้หากเราแยกปลายสายให้ห่างจากกันจนทำมุม 180 องศา เราจะเรียกสายอากาศประเภทนี้ว่าสายอากาศแบบไดโพล ซึ่งรายละเอียดของสายอากาศดังกล่าวจะถูกอธิบายอย่างละเอียดในบทที่ 3 ต่อไป



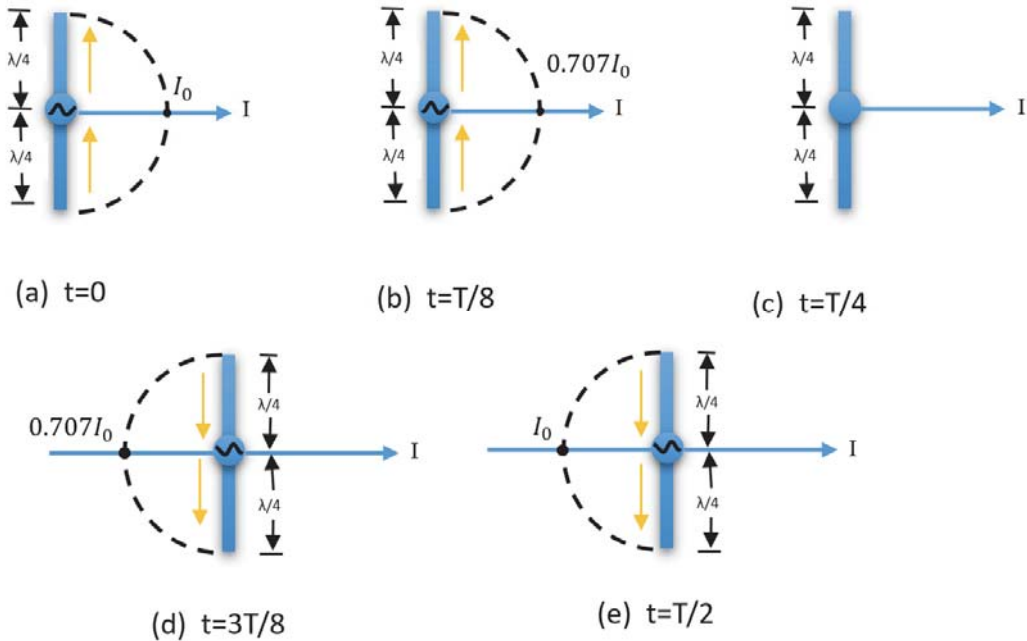
รูปที่ 1.4 การแยกปลายเปิดสายส่งทั้งสองให้ห่างออกจากกัน

1.3.2 การกระจายของกระแสและแรงดันในสายอากาศ

การกระจายของกระแสและแรงดันในสายอากาศจะคล้ายกับการกระจายของกระแสและแรงดันในสายส่ง รูปที่ 1.5 แสดงการกระจายของแรงดันและกระแสในทางอุดมคติตลอดความยาวของไดโพลครึ่งคลื่น จะเห็นได้ว่ามันมีลักษณะเหมือนกันกับการกระจายของกระแสและแรงดันบนสายส่งปลายเปิด ขนาด $1/4$ ของความยาวคลื่น โดยที่จุดป้อนจะมีแรงดันต่ำแต่กระแสสูง โดยแรงดันและกระแสจะกลับขั้วกันทุกๆ ครึ่งรอบ ดังรูปที่ 1.6



รูปที่ 1.5 การกระจายของแรงดันและกระแสในทางอุดมคติ



รูปที่ 1.6 การเหนี่ยวนำระหว่างสายอากาศทั้งสอง

1.3.3 สายอากาศแบบเรโซแนนซ์

เนื่องจากวงจรสมมูลของสายอากาศประกอบไปด้วยวงจร RLC ดังที่กล่าวมาเบื้องต้นแล้ว โดยทั่วไปแล้วสายอากาศจะใช้หลักการเรโซแนนซ์ในการทำงานเช่นเดียวกับสายส่งเรโซแนนซ์ ดังนั้นสายอากาศจะมีลักษณะเหมือนสายส่งวงจรเปิดด้านปลายที่มีความยาวพอดีกับระยะเรโซแนนซ์ ซึ่งระยะเรโซแนนซ์ที่พอดีจะเกิดทุกความยาวเท่ากับ 1/4 ของความยาวคลื่น ดังนั้นสายอากาศเรโซแนนซ์จะมีความยาวรวมเป็นผลทวีคูณของ 1/2 ของความยาวคลื่นดังรูปที่ 1.7 โดยรูปแบบการแพร่กระจายของสายอากาศเรโซแนนซ์ชนิดไดโพลที่ค่าความยาวต่างๆ สามารถดูได้ดังรูปที่ 1.8



รูปที่ 1.7 การกระจายของกระแสบนสายอากาศเรโซแนนซ์ที่ค่าความยาวต่างๆ

วิศวกรรมสายอากาศ

ANTENNA ENGINEERING

สายอากาศเป็นอุปกรณ์ไฟฟ้าชนิดหนึ่ง มีหน้าที่เปลี่ยนปริมาณทางไฟฟ้าในรูปของกระแสไฟฟ้าหรือแรงดันไฟฟ้ากระแสสลับให้อยู่ในรูปของคลื่นแม่เหล็กไฟฟ้า หรือในทางกลับกัน มันสามารถรับคลื่นแม่เหล็กไฟฟ้าและสามารถเปลี่ยนไปเป็นรูปแบบของกระแสไฟฟ้าหรือแรงดันไฟฟ้ากระแสสลับ กระแสไฟฟ้าหรือแรงดันไฟฟ้ากระแสสลับดังกล่าวสามารถถูกใช้เป็นคลื่นพาห์ นำพาสัญญาณข้อมูลออกไปสู่อากาศ ทำให้ระบบการสื่อสารไร้สายใดๆ ต้องมีสายอากาศเป็นส่วนประกอบด้วยเสมอ เนื่องจากการสื่อสารในปัจจุบันถูกพัฒนาไปอย่างก้าวกระโดด ทำให้สายอากาศรูปแบบใหม่ๆ ต้องถูกออกแบบและนำไปใช้โดยใช้ความรู้ทางด้านวิศวกรรมสายอากาศ เช่น ปัจจุบันเทคโนโลยี 5G ได้รับความนิยมสูงมากทั่วโลก ทำให้สายอากาศในย่านความถี่ 3.5 กิกะเฮิรตซ์ หรือย่าน 28 กิกะเฮิรตซ์ ถูกนำมาใช้อย่างแพร่หลาย

หนังสือเล่มนี้จึงถูกออกแบบให้มีเนื้อหาตรงตามระเบียบคณะกรรมการสภาวิศวกร เหมาะสำหรับนิสิตนักศึกษา วิศวกร และผู้สนใจ อีกทั้งยังเพิ่มเติมเนื้อหาทางด้านหลักการทดสอบสายอากาศ และการประยุกต์ใช้สายอากาศในระบบ 5G เพื่อให้สามารถเข้าใจถึงเนื้อหาดังกล่าวได้อย่างครอบคลุม ตั้งแต่ต้นน้ำถึงปลายน้ำคือ การออกแบบ การวิเคราะห์ การทดสอบและการนำไปประยุกต์ใช้งานผ่านประสบการณ์ของผู้เขียนเอง และการรวบรวมเนื้อหาต่างๆ จากหนังสือตำราทั้งในประเทศและต่างประเทศ เอกสารและมาตรฐานการวัดสายอากาศต่างๆ เป็นจำนวนมาก ทำให้ผู้สนใจศึกษาวิชานี้สามารถใช้หนังสือเล่มนี้เพียงเล่มเดียวในการศึกษาและออกแบบสายอากาศได้ด้วยตนเอง



www.se-ed.com



[sbc.fans](https://www.facebook.com/sbc.fans)



คู่มือเรียน-อุดมศึกษา/วิศวกรรม-เทคโนโลยีและการสื่อสาร